

三陸沿岸の津波対策について

岩手県土木部河港課 佐々木 忍

1. 緒 言

岩手県の海岸は、いわゆるリアス式海岸として知られているように凹凸が激しく、北端より南端まで弓なりに計った距離 189 km に対して、海岸線延長は 535.25 km であって、1 km 当り 2.83 km であり凸部は断崖をなし、湾奥は河川の沖積厚として発達した低地であって、ここが都市、村落、耕地として三陸沿岸の生産地帯を形成している。大きい湾の奥には大船渡、釜石、宮古、久慈の商港および山田、大槌の三種漁港等、三陸沿岸の中心都市となり、岩手県分として港湾 5、四種漁港 1、三種漁港 4、二種漁港 8、一種漁港 97 と総計 115 の商漁港がある、海岸線 4.6 km 当り 1 港の港があることになり、これらはすべて湾奥の比較的外海の波に対して、しゃへいされた位置に立地している。

この三陸海岸においては、久慈以北の比較的単調な海岸において、一部海岸浸食が起きており、また久慈港、野田漁港、大田部漁港、島の越漁港等、外海に開放された港において波浪の問題があり、久慈港において 31 年度以来、波浪観測をしているが、その他においては、海岸浸食、高潮、地盤沈下等の問題ではなく、ただ過去において数 10 年に一度の割合で津波に襲われており、最近では明治 29 年、昭和 8 年と二度甚大な被害を受けているので、三陸海岸では最大の問題である。最近、普代海岸、津軽石海岸で防浪の計画を立案したのでこれについて報告する。

2. 三陸海岸の津波

三陸沿岸では最近は、明治 29 年の津波で、死者、行方不明 18 000 人、人家流失倒壊 5 500 戸、昭和 8 年の津波で死者、行方不明 2 700 人、人家流失倒壊 4 000 戸の甚大な被害をうけたのであるが、有史以来古文書、口碑によれば

表-1 のごとくたびたび被害をうけている。これら数多くの津波のうち、第一級のもの、貞觀 11 年、慶長 16 年、明治 29 年、第二級のもの、元和 2 年、延宝 5 年、元録 2 年、安永 3 年、昭和 8 年という規模に対する見解も一致している。すなわち三陸海岸に甚大な被害をおよぼすと考えられる第二級以上の津波について見ると、貞觀 11 年～慶長 16 年の間は 750 年もあるのに、津波がなかったとも考えられないで、この区間を除いて計算すると現在まで $348/7=50$ 年に一度という概略の数字となる。

しかしながら、地震研究所業報の今村明恒博士によれば、三陸地震と関東地方における地震とは同じく太平洋側地震帶上に震源地を有するから相関があるということから「過去 300 年間三陸地方における津波発生には一衰ありしこと、詳言すれば 17 世紀においては慶長 16 年津波を基として津波活動の時期なりしが元録以後一世紀半ば極めて不活潑であった。そして明治 29 年津波を主要なものとして、最近活動の時期を再現したもの」

表-1 津 波 の 歴 史

年 月 日	西暦	備	考
貞觀 11 年 5 月 26 日	869	陸奥地方大いに震い津波を生じ溺死 1 000 名におよぶ。	
天正 13 年 11 月 29 日	1586	巣糞丸は三陸地方に非ざるも陸中地方まで津波あり。	
慶長 16 年 10 月 23 日	1611	陸奥国に地震あり、震害軽きも震後大津波襲う、伊達領溺死、南部・津軽領の海辺人馬 300 余死す、北海道南東沿岸にも死者を生ず。	
元和 2 年 10 月 23 日	1616	陸中沿岸に大津波あり。	
慶長 4 年	1651	陸前亘理郡に津波襲来す。	
延宝 5 年 3 月 12 日	1677	陸中國南部領に數回の地震あり、震害少なきも津波襲来し、宮古銀ヶ崎、大槌浦等にて家屋流失破損す。	
貞享 4 年 9 月 17 日	1687	陸前亘理郡に津波襲来す（あるいは貞享 3 年の地震か）。	
元録 2 年	1689	陸中海岸に津波襲来す。	
「 9 年 11 月 1 日	1696	牡鹿郡にて船 300 隻流失し、溺死多し。	
「 16 年 9 月 7 日	1703	岩代桑折領地震、小津波陸中海岸を襲う、被害なし。	
宝永 1 年 11 月 23 日	1703	相州地方津波余波を受け死傷者を出す。	
宝歷 1 年 4 月 26 日	1751	越後国地震、小津波陸中海岸を襲う。	
安永 3 年 5 月 3 日	1774	南部領箱崎浦に津波。	
寛政 5 年 1 月 7 日	1793	大槌湾の珊瑚島海中に没す、大槌における死者 13 名。	
安政 3 年 7 月 23 日	1856	震源地は北海道南東沖合で震後津波襲来、陸奥、陸中に至る。	
明治 1 年 6 月	1868	本吉郡地方に小津波襲来す。	
「 27 年 3 月 22 日	1894		
「 29 年 6 月 15 日	1896	三陸沿岸大津波あり、死者 21 953 人、負傷者 4 398 人、家屋流失 10 370 棟。	
「 30 年 2 月 20 日	1897	仙台地方地震、氣仙沼地方海面 3 尺上昇。	
大正 4 年 11 月 1 日	1915	三陸沖震央、志津川湾小津波生じ津波高 3 尺。	
昭和 8 年 3 月 3 日	1933	三陸沿岸および北海道一部に津波あり、死者および行方不明 2 671 名、傷者 805 人、流失および倒壊家屋 4 080 戸、焼失家屋 201 戸。	
「 27 年 3 月 4 日	1952	十勝沖地方に小津波。	
「 27 年 11 月 5 日	1952	カムチャッカ沖裏地津波。	

表-1 のごとくたびたび被害をうけている。これら数多くの津波のうち、第一級のもの、貞觀 11 年、慶長 16 年、明治 29 年、第二級のもの、元和 2 年、延宝 5 年、元録 2 年、安永 3 年、昭和 8 年という規模に対する見解も一致している。すなわち三陸海岸に甚大な被害をおよぼすと考えられる第二級以上の津波について見ると、貞觀 11 年～慶長 16 年の間は 750 年もあるのに、津波がなかったとも考えられないで、この区間を除いて計算すると現在まで $348/7=50$ 年に一度という概略の数字となる。

しかしながら、地震研究所業報の今村明恒博士によれば、三陸地震と関東地方における地震とは同じく太平洋側地震帶上に震源地を有するから相関があるということから「過去 300 年間三陸地方における津波発生には一衰ありしこと、詳言すれば 17 世紀においては慶長 16 年津波を基として津波活動の時期なりしが元録以後一世紀半ば極めて不活潑であった。そして明治 29 年津波を主要なものとして、最近活動の時期を再現したもの」

様である」従って、これらの活動期においては 20~30 年くらいに 1 回の割合で津波を受けることも考慮される。

3. 三陸に被害をおよぼす地震について

三陸に津波を起す地震の震源地は図-1 のごとくであり、また、地震の規模については図-2 および表-2 のごとくであり、地震の規模においてはカムチャッカ沖地震は昭和 8 年の三陸地震に相当するが三陸においては小津波にすぎず、また、房総半島沖地震は十勝沖地震以上の規模を持ちながら、ほとんど津波としては起らなかったから、三陸沿岸に津波を起す地震の震源地としては、三陸東方に発生する地震のみを考慮すればよいと思われる。

表-2 地震の規模

地	震	M 値
昭和 8 年 3 月 3 日		8.5
» 27 年 3 月 4 日	十勝冲	7.6
» 27 年 11 月 5 日	カムチャッカ沖	8.4
» 28 年 11 月 26 日	房総半島沖	7.8

4. 最近の小津波

最近において三陸海岸では昭和 27 年および 28 年に三陸小津波の来襲を受けているが、カムチャッカ沖および十勝沖地震の津波状況は表-3、十勝沖の伝播状況は、図-3 のごとくであり、十勝沖では約 60 分カムチャッカ沖では約 130 分で三陸に達しているが、両津波について一般的に次のことがいえるようである。

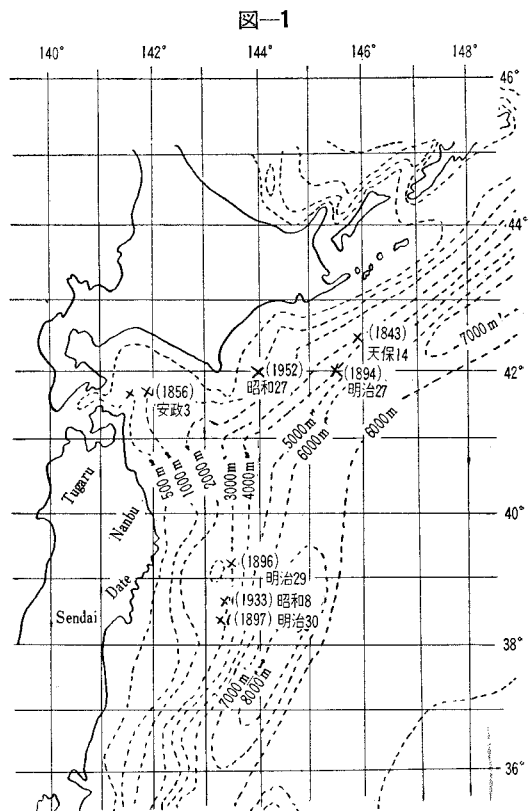
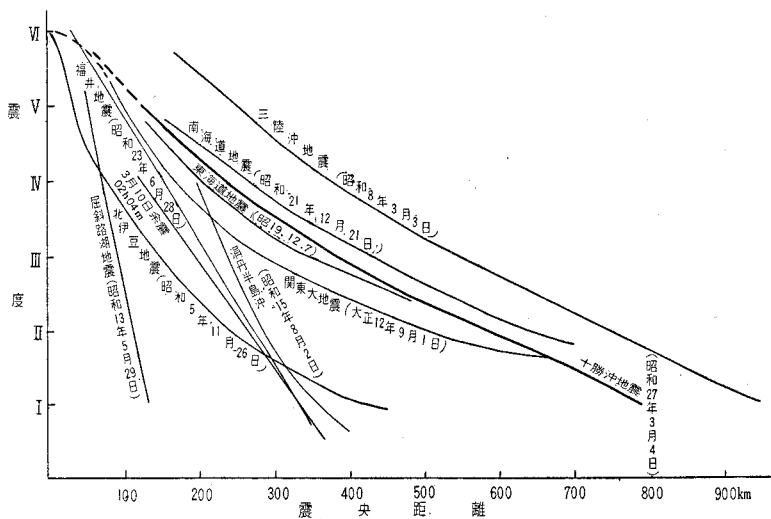


図-2 地震規模比較図



- a) 宮古湾のみについてであるが、十勝沖では周期 20 分、カムチャッカでは周期 60 分で湾の固有振動が 46 分であり、固有振動より津波周期が、短かい場合は湾奥に進むに従って低くなる。
- b) 津波の周期は、震源より遠くなるほど長くなる。
- c) 昭和 8 年の津波でもいえることであるが、短周期の津波では湾の静振が 20~30 時間でおさまっている

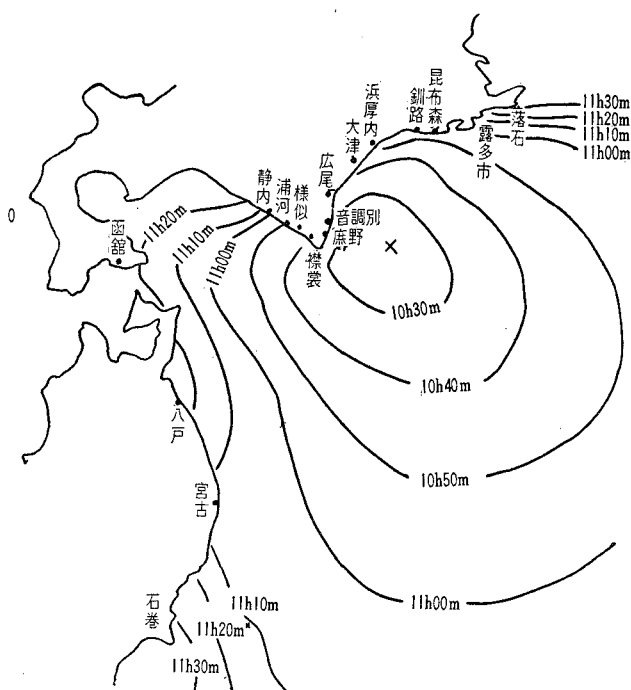
表-3 十勝沖、カムチャッカ沖、地震による津波状況

周期	十勝沖地震にともなう津波				カムチャッカ沖地震にともなう津波			
	第一波		摘要		第一波		最高潮位	
	波高	時刻			波高	時刻	潮位	時刻
宮 古	20分	1.95	11時20分	振巾 3 m	59	1.80 m (最大振巾 1.73) 8時10分	1.83	7時頃
津 軽 石		1.0~1.5	11時15~30分	振巾 2.0 m~2.5 m 聞込み		2.4~3.0 (痕跡) (最大振巾 3 m)		
八 戸	30分	0.30	11時26分		67	0.48 (最大振巾 1.78) 10時19分	1.61	15時12分
小 名 浜	22分	0.17	11時40分		60	0.40 最大振巾 1.63 (15時48分)	當時正常潮位上 0.73	16時15分
女 川					75	0.66 最大振巾 1.78 (13時30分)	1.74	16時23分
広 尾 野	15~20分	1.70	10時55分					
庶 野	15分	1.50	地震後 10分					

湾内の静振は 20~30 時間ではほとんどおさまる。

一般的に静振が減衰せず 3~4 日残る。

図-3 十勝沖地震津波伝播状況図(昭.27.3.4)



が、カムチャッカ沖地震の津波では 3~4 日間静振が止まらず、また、満潮時に静振の振巾が大きくなり、カムチャッカ沖では、第一波襲来後 12 時間後の 16 時の満潮時に各地で最高の水位に達している。

なお 28 年の房総半島沖地震においては、2 時 51 分に地震が発生してから、宮古港で第一波が 4 時に到達していて約 70 分で到達し、振巾 12 cm 周期 20 分であって、静振とほとんど区別がつかない程度である。

5. 明治 29 年、昭和 8 年の津波

明治 29 年の津波は、ほぼ満潮時に、昭和 8 年の津波は、ほぼ平均水位漲潮時に発生したようであるが、これを考慮してもなお、明治 29 年の津波の規模が大きかったようであり、両津波の三陸沿岸の浸水高は表-4 のごとくである。各文献により多少の差があるが（これについては資料の出所は 4 系統あると思われる）、これについ

表-4 明治29年および昭和8年津波の波高

	松 尾		便 寛		石本: 地盤とその研究		内 务 省		震浪灾害土木誌		彙報		気 象 台		湾 形	固有振動
	明29	昭8	明29	昭8	明29	昭8	明29	昭8	明29	昭8	昭8	明29	昭8	明29	昭8	
八 戸(飯)	3.0	4.6	3.3	2.9	3.3	2.9	—	—	—	—	—	3.0	2.1	偏平		
八 戸(木)	18.3	7.2	—	—	—	—	11.6	6.8	21.7	7.5	3.5	10.7	6.0	偏平		
久 慈	—	8.7	—	—	—	—	15.7	6.7	16.3	7.3	4.0	—	4.5	大きなU字形	20.4	
野 田	20.0	15.6	—	—	—	—	—	—	9.8	4.7	5.5	—	5.5	偏平		
普 代	—	16.9	—	—	—	—	18.1	13.0	18.8	14.0	7.5	—	11.5	小さいU字形(偏平)		
小 本	11.8	13.4	—	—	—	—	5.4	2.4	18.0	15.0	4.4	12.2	13.0	小さいU字形(偏平)		
田 老	14.6	6.4	14.5	10.0	14.5	10.0	13.6	7.6	14.3	9.9	10.0	14.6	10.1	小さいU字形		
宮 吉	9.1	8.2	4.5	4.0	—	—	8.5	3.4	9.2	4.3	4.0	4.6	3.6	大きい湾	46.0	
金 浜	6.3	3.5	—	—	—	—	7.3	2.3	7.9	3.0	2.0	4.0	1.2	大きい湾		
姉 吉	18.8	14.0	18.8	20.0	18.8	20.0	16.2	10.2	16.9	10.9	21.0	18.9	12.4	小さいV字形		
大 沢	3.9	4.4	3.9	2.0	3.9	2.0	6.6	4.8	7.3	5.4	2.5	4.0	6.0	大きい湾内		
山 田	5.5	4.2	5.5	3.0	5.5	3.0	6.6	4.8	7.2	5.4	4.0	5.5	4.5	大きい湾内	34.0	
大 橋	4.2	3.4	2.7	3.3	2.7	3.3	3.8	2.3	4.5	3.8	3.3	2.7	3.9	大きい湾		
両 石	11.7	9.5	11.2	10.4	11.2	10.4	6.7	5.5	13.7	9.8	10.4	10.6	6.4	V字形		
蓑 石	6.0	4.4	6.3	3.7	6.3	3.7	7.9	4.1	7.6	4.6	3.7	5.4	5.4	2重V字形	15.6	
本 郷	15.3	9.9	13.9	11.5	13.9	11.5	14.5	9.3	14.2	10.0	12.0	—	—	小さいV字形		
小 白	17.3	12.1	—	—	—	—	14.6	9.6	15.8	12.5	11.8	16.7	6.0	V字形		
吉 越	26.3	14.6	24.0	16.3	24.0	16.3	26.1	14.3	26.8	15.0	16.3	24.4	9.0	V字形		
喜 来	11.3	6.3	10.3	9.9	10.3	9.9	11.6	7.8	14.0	9.3	9.9	10.4	3.0	V字形		
白 浜(綾里)	38.2	29.3	21.7	28.7	21.7	28.7	25.6	18.6	23.7	19.3	28.7	22.0	23.0	V字形		
大 船	5.8	3.1	3.3	3.4	3.3	3.4	3.2	1.8	3.2	2.7	3.4	3.4	2.4	大きい湾		
細 渡	—	—	6.6	4.1	6.6	4.1	5.0	3.0	5.7	3.7	6.2	6.7	3.1	上記の中間地点	39.1分	
只 越	10.5	8.5	—	—	8.4	7.4	—	—	—	—	—	—	—	—		
志 津	3.8	2.2	1.3	1.3	1.3	1.3	—	—	—	—	—	—	—	—		
女 川	3.3	2.5	—	—	—	—	1.4	2.3	—	—	—	—	2.7	2.4		
鮎 川	2.1	1.3	2.1	3.2	2.1	3.2	—	—	—	—	—	—	2.1	2.4		
石 卷	0.6	1.0	0.6	1.0	0.6	1.0	—	—	—	—	—	—	0.6	2.0		
塩 釜	—	0.2	—	—	—	—	—	—	—	—	—	—	—	3.0		

ては、測定の誤差のみとは考えられず、同一地点でも、一様な浸水高を示さず、地形的に相当の変化があると考えるのが至当であろう。昭和8年の津波について

- a) 地震発生(2時32分)後約30~40分(3時9~12分)で三陸海岸に第一波が襲来している。
- b) 津波の周期は約12分程度であった。
- c) 津波の襲来は5~7回のようであるが、

陸上まで遡上したのは3回程度であった。

d) 三陸沿岸(岩手県分)については図-4の伝播状況によって、震源地と当該地点の湾口を結ぶ直線方向に進行していくと仮定してよい。

- e) 津波の浸水高は一般的に
 - ① 大きい湾では3~6m程度である。
 - ② V字形の湾では10~25m程度である。
 - ③ U字形の湾では8~10m程度である。
 - ④ 偏平な海岸では5~7m程度である。

6. 普代海岸の津波対策

津波の浸水高は地形の影響を受けるので昭和8年以後の地形の変化も考慮すべく慎重を期したのであるが普代海岸の検討に当っては、普代の谷の浸水状況のよくわかる松尾博士の調査によることとし、上流端については現地の調査により、浸水区域を明らかにした。この浸水情況は図-5, 6(a)のごとくであるが、これによれ

図-4 三陸津波の伝播

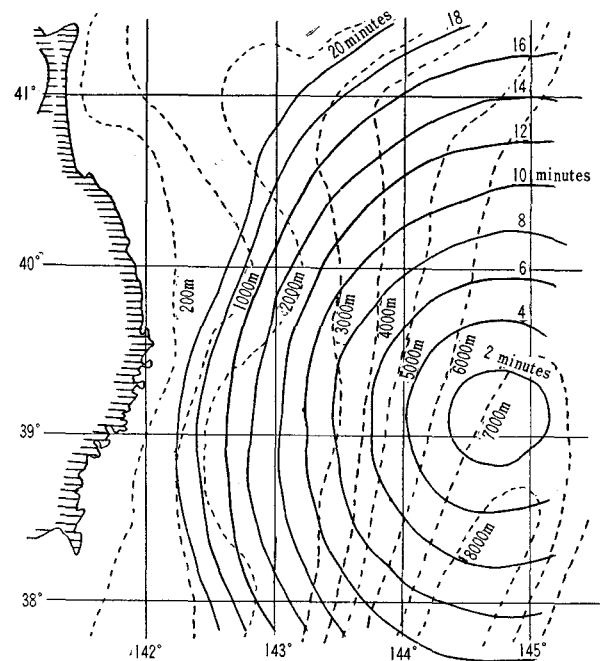
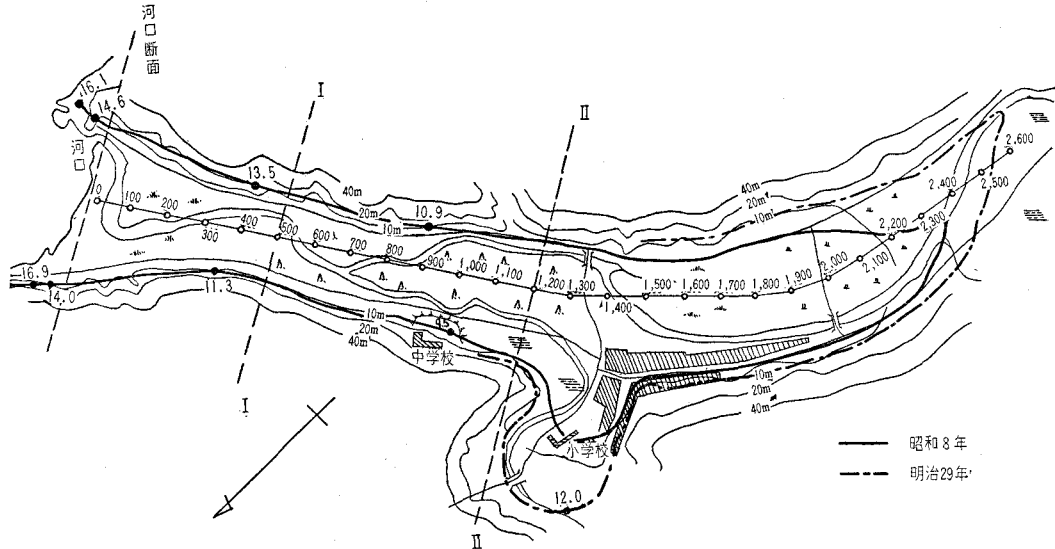


図-5 普代川下流現地における痕跡調査



ば津波は、海岸部左岸に突き当つてのち、右岸沿いに進み、その後普代川および支流蔑市川沿いの2つに分れて遡上したと思われる。

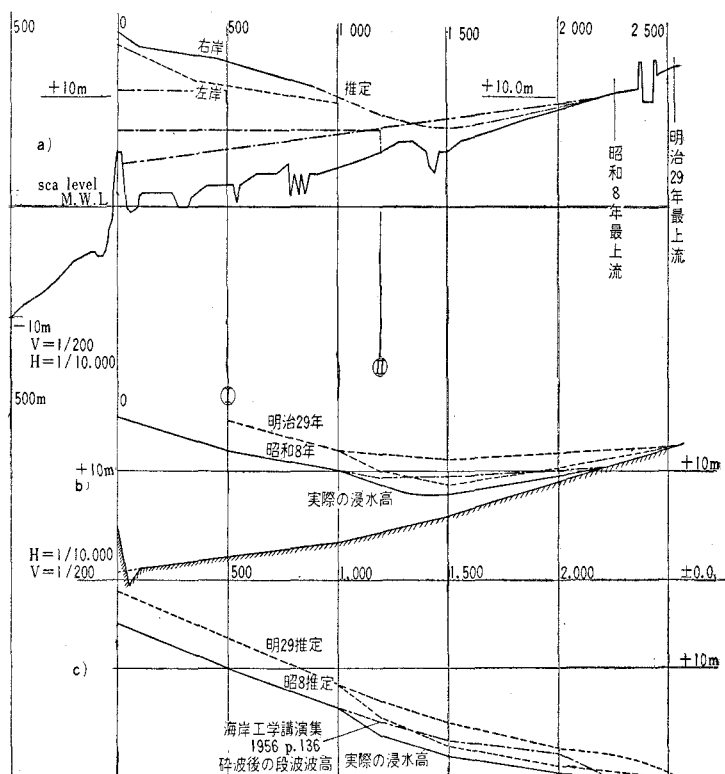
(1) 普代海岸の遡上高

従来、湾内の津波の高さは、Greenの法則を適用して来たが、これは外海に直面したV字型の湾にのみ適用して説明してきたのであるが、普代のように外海に直面した巾500m、奥行300mの偏平な小さい湾形をなした所ではGreenの法則ではとうてい説明できない。

ここでは、外海に対しては、中央気象台「三陸沖強震および津波報告」の本多氏による波高を適用し、湾内にはGreenの法則による波高の変化を追跡し、浜においてKaplanの実験公式を採用して、綾里湾、吉浜湾について試算した結果、比較的よく一致したので、普代についてもこの方法によつて計算した。本多氏によれば、

G. Greenは切口が矩形でしかも巾 B と深さ H とが少しづつ変化している小さな直水道を波が進むと波の高さ η はその場所の巾の平方根に逆比例し、深さの4乗根に逆比例する。すなわち A を常数とすると、 $\eta = \frac{A}{B^{1/2}H^{1/4}}$ である。水道が浅くなればなるほど波は高くなり、巾が狭くなれば波は高くなる。その後長岡博士は切口が矩形でないときには、 H は切口の平均の深さを用いてよいことが示され、高谷氏は巾や深さの変化がそんなに小さくない場合を研究されている。さて、今回の地震は岩手県釜石湾、吉浜湾などの付近海岸の東方約240kmの沖合に当り、震源の深さはきわめて浅いとされている。しかしてこの辺の海深は7000m前後である。い

図-6 (a) 普代谷縦断勾配図



まごく簡単に津波は海底の震源における地震変動によって生じたとする。また、海の深さも平均を取ってかりに 2800 m の一様な深さとし、海底の震源地域で半径 40 km の地域が突然 3.8 m だけ（あるいはこれと同じだけの体積）陥落したとする。

前記の佐野、長谷川両氏の計算の結果を応用すると震源から 200 km の場所では、海面は最高 31 cm 上昇することになる。ところでこれには海岸に近づくにつれ、海が浅くなるための影響を考えに入れていない。この補正是困難であるから、ここではかりに波の高さは海の深さの 4 乗根に逆比例すると仮定すると、前記海岸近くの 100 m の外洋では波の高さは約 72 cm になる。津波の周期は前記のように 12 分程度であるから、

a) 水深 100 m 地点 $H=0.72 \text{ m}$ $L=\sqrt{9.8 \times 100 \times 12 \times 60}=22500 \text{ m}$

b) 綾里湾 綾里湾の湾口は水深約 50 m であるから、ここまででは水深の 4 乗根に逆比例とすれば

	湾口水深 50 m	湾奥水深 10 m	週上高 1/30	湾口断崖水深 10 m
H	0.855	3.63	15.2 m	1.28 m
L	16050	9200		7200
$H=H_0 \sqrt[4]{\frac{h_0}{h}}$	Green	Kaplan		

いま津波は長波であるが、波の週上高の実験が適用されるものと仮定すれば（海岸工学講演集 1955 p. 68）

$$\frac{h}{L} = \frac{10}{7200} = 0.014 \quad \frac{H}{L} = \frac{1.28}{7200} = 0.00018$$

であって、 $R/H=6 \sim 7$ になるであろうと想定されるので、ほぼ現地に一致する。

c) 吉浜湾 吉浜湾の湾口は水深ほぼ 100 m であるから、

	湾 口	湾 奥	週 上 高
水 深	100 m	10 m	1/30
H	0.72	2.95	13.2
L	22500	7200	—
		Green	Kaplan

以上のように、綾里湾および吉浜湾においては、ほぼ現地に一致するが、浜勾配については、海図および 1/50000 図より推定したものであって、勾配が急であれば、さらに週上するものと思われる。

d) 普代海岸 上記の計算方式により普代海岸の週上高は -10 m までは Green により以後 Kaplan によれば

$$H_{-10} = H_{100} \sqrt[4]{\frac{100}{10}} = 0.72 \times 1.775 = 1.28$$

普代海岸の縦断勾配は、図-5 のごとく 1/60 と 1/20 の二つの勾配から成るから 1/60 の場合

$$R = H \times 0.206 (H/L)^{-0.315}$$

$$\log R = \log H + \log 0.206 - 0.315(\log H - \log L) = 0.602365$$

$$R = 4.00 \text{ m}$$

1/30 の場合

$$R = H \times 0.381 (H/L)^{-0.316}$$

$$\log R = \log H + \log 0.381 - 0.316(\log H - \log L) = 0.876334$$

$$R = 7.52 \text{ m}$$

いま Kaplan の式が勾配に関して直線的に変化すると、Assume すれば、浜勾配 1/20 程度で、11~13 m 程度まで週上することになりほぼ現地に一致する。

(2) 谷の津波現象

松尾博士調査の図-5によれば、谷の両岸の高さに差異があることおよび谷の奥に入るに従って浸水高が低いことが目につくが、いま図-6 (a) のごとく、谷の縦断図にこの浸水高を記入すると、500 m 付近が特に右岸が高い。また図-5 のごとく茂市川寄りにも週上の傾向が見られるので、この谷を津波が進入するに当って前記のごとく左岸の海岸部に激突した津波が反射して、右岸 500 m 付近に当り、さらにここで反射して奥に進入したと考えられる。いま津波が一応 Sin-Wave と仮定し、1 周期当り、陸側に移動した水量を巾 1 m 当り

$$q = \frac{H_0 L_0}{2\pi}$$

とすれば、普代の河口付近の巾400mの間より流入した水量は $Q = 400 \times \frac{H_0 L_0}{2\pi} = 400 \times \frac{0.72 \times 22500}{2 \times 3.14} = 1030000 \text{ m}^3$ ，一方図-5のように区間を区切って、この間の貯水量を計算すれば図-7のごとくなり、図-6(a)の浸水高まで貯水したとすれば

河口～I区域	平均	13 m	1 400 000 m ³
I～II	〃	10 m	950 000 〃
IIより上流	〃	8 m	300 000 〃
計			2 650 000 m ³

また1030000tの貯水量に見合う区間は、ほぼ

河口～I区間	高さ	10.3 m
河口～II区間	〃	7.0 m

となる。このことは、津波はこの谷に満水したのではなく、図-6(b)のような状態で進入したものと考えられる。図-5の現地盤を簡単化し浸水高と現地盤との間の水深を図-6(a)のごとく直すと、それぞれ昭和8年の津波高は実線のごとくなる。これの河口部の高さと谷に入ったときの高さの関係は1000m付近までは岸氏の実験結果(海岸工学講演集1956年, p. 136)にほぼ一致し、1000mより上流側は実験結果よりは低い。これは、1000mより上流側は1000mを境界として谷が広まっているための影響であると判断される。

図-6(b)

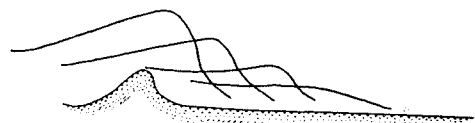
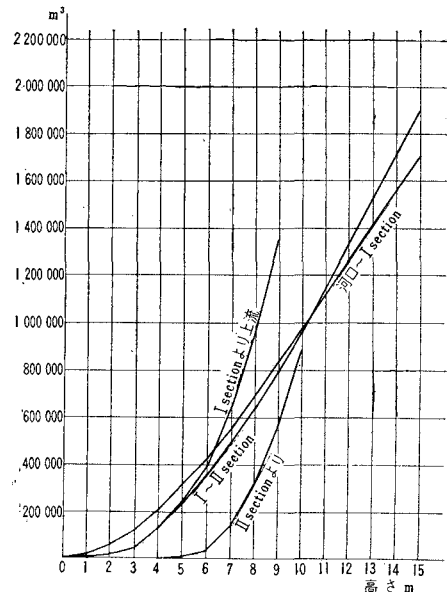


図-7 貯留量曲線



以上、諸種の事実より普代においては、津波は海底勾配の影響を受けて遡上し、砂丘付近で碎けながら段波の形となって普代の谷へ進入したものと考えられる。

(3) 明治29年津波の推定

昭和8年の津波については、上記のごとくあるが、明治29年の津波については、最上流端が12.5mまで登ったという現地確認以外に資料がない。

いま大胆な仮定であるが波形は長波として伝わり、これと同じ速度で流入するものとし12000m地点と最上流端では、昭和8年津波時には2mの高低差があったから速度のエネルギーが位置のエネルギーに変り、その間の摩擦損失を省略すれば

$$\frac{V^2}{2g} = 2 \text{ m} \quad \therefore V = 6.3 \text{ m}$$

$$\sqrt{gh} = 6.3 \text{ m} \quad \therefore h = 4 \text{ m}$$

で現地とほぼ一致する。

そこで、この関係を明治29年に逆算すると、 $h=5.5 \text{ m}$ と仮定すれば

$$V = \sqrt{gh} = \sqrt{9.8 \times 5.5} = 7.35 \text{ m} \quad \frac{V^2}{2g} = \frac{7.35^2}{2 \times 9.8} = 2.75 \text{ m}$$

従って、最上流端の高さ = $4.50 + 5.50 + 2.75 = 12.75 \text{ m}$
(現地盤)

で、明治29年の最上流端の高さが12.5mであるからほぼ一致する。従って、1200m地点の明治29年の浸水高を+10mと仮定して、図-6(a)のように河口付近の高さと、途中の高さの関係を進入した距離との関係において逆算すると、河口での浸水高は17mとなり

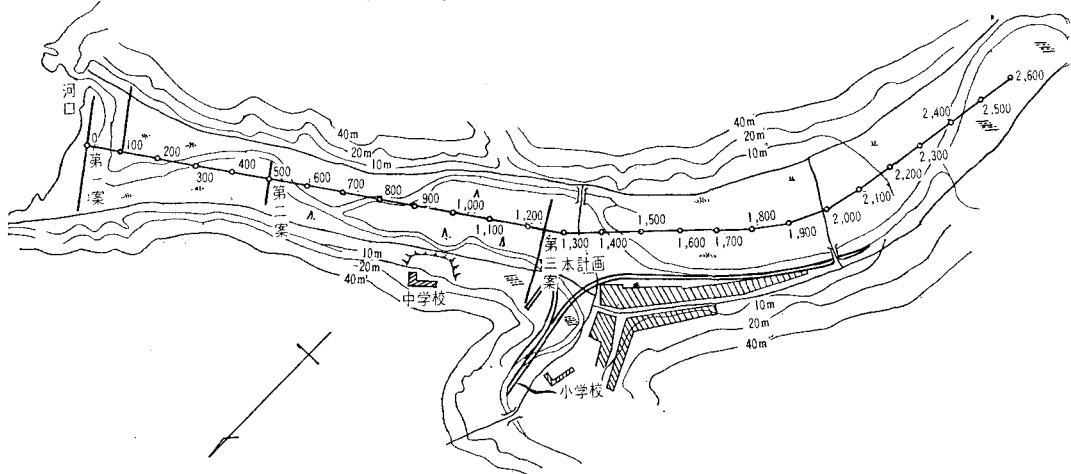
$$\frac{\text{明治29年}}{\text{昭和8年}} = \frac{17}{14} = 1.21$$

となり、各地のこの比率が1.1～1.4などであるから、普代における明治29年の津波の規模もほぼこの程度のものであったろうと推定される。

(8) 過去の防浪堤計画

普代海岸については、昭和8年の津波を受けてから特に防浪堤の要望が強く、それ以来図-8の第一案および

図-8 普代川下流過去の計画位置



第二案が、そのときに立案されていた。しかしながら今回前述のように普代海岸の津波の特性について検討を進めた結果、第一案については、図-6(a)のように、浸水高がきわめて高く、しかもこの地点においては津波が碎ける可能性も多分にあるのでこの地点において津波に対抗することが不適当であり、この砂丘の巾も狭く構造物を造るほどの巾もなく、加えて、河口より 1300 m の区間は、従来の防潮林であって、経済的価値もないので、本地点での第一案は不適当であるという結論に達した。

第二案については、この地点が選定された唯一の理由は谷の巾が本地点が一番狭いので工費も一番安いということにあったと思われるが、この地点まで後退してもなお浸水高が相当高いことが第一、さらに普代川の洪水量を流下するためには、川巾を 55 m 程度はぜひ必要なのであるが、この場合、谷の巾は約 170 m であって、1/3 の川巾が開放されることになる。このような状態において津波を受けた場合、三陸海岸において被害を受けている津波の回数は三波であるから、引波においては水面勾配でのみ水が引くのであるから、普代のように平らな地形では、これを Neglect すれば、堤防を設置しなかったと同じ状態まで、上流部においては浸水するであろうことが想定される。わずかに効果として認められる点は、上流部への流入のエネルギーが削減されるであろうというだけにとどまる結果になる。

第三案は、上記の理由によりここまで後退すれば地盤高も上り、浸水高も下るので、堤体の高さを前二案に比してはるかに小さくできることと、谷の巾は約 300 m 川巾が 55 m で約 1/6 を開放するにすぎないので、三波を受けても上流の浸水高を 1/2 に減少できるので本計画の当初においては、第三案を採用しようとした。しかしながらこの第三案は昭和 33 年 9 月 22 号台風による洪水に対して、普代川の流出量を検討した上で計画ではあるが、谷を横過する構造物であって、河川環境を悪化するものであり、これを突堤化して茂市川寄への遡上を防ぎ、普代本村を取巻く防浪堤とし、洪水防御も兼用とした計画の最終案に到達した。

(5) 天端高

普代の谷の浸水高は図-6のごとくであるが、昭和 8 年の浸水高は図のように 1000 m より上流において特に低くなっているが、これは前述のごとく谷が広まっているためと考えられるが、いま突堤を出した場合は従来より谷巾が狭くなったと考えて支障ないので、この浸水高を修正した浸水高で計画すれば安全側である。ただこの場合、昭和 8 年前とくらべて防潮林が密集しており、また厚さも 500 m もあり、津波により折損されるとても相当の抵抗があり、浸水高も減少するものと考えられるので、昭和 8 年の実際の津波の浸水高を修正した高さで計画してよいと考える。

a) 突堤 本突堤は 500 m 付近右岸で反射して進入してきて茂市川寄りに遡上する津波を防ぐ効果を持たせたものであって遡上を防ぐため流速の茂市川上流に向う factor を極力少なくするためと、この突堤により普代本村の人家密集地に向う津波を右岸寄りにはね返す効果をも持たせるため法線を上流側に傾斜させた。また天端高については、背後に直接人家もなく、上記の効果が目的なので必ずしも完全に津波をさえぎる必要もないで、先端において昭和 8 年程度の津波で想定される高さである +10 m として基部において流れが先端方向に向うように +11 m としてわずかながら勾配をつけた。

b) 堤防 500 m 付近右岸で反射して進入してくる津波に対して、突堤によってはねてもなお、堤防の曲線部

においては津波を直接受けるので、この区間については、

$$\text{津波の浸水高: } 9.5 \text{ m} \quad \text{波高: } 9.5 \text{ m} - 6.0 \text{ m} = 3.5 \text{ m}$$

$$\text{地盤高: } 6.0 \text{ m} \quad \text{天端高: } 6.0 \text{ m} + 3.5 \text{ m} \times 1.3 = 10.5 \text{ m}$$

とする。またこの区間より上流側は津波が堤防法線に平行に進むので反射は起らないと考えられるので天端高を +10.0 m とした。さらに茂市川部分は突堤により遡上が防がれ、津波には直面しないがポケットが小さくなることと、普代本村では平地部がないので、この区域が将来密集地となると予想されるし、越波がもしかった場合、相当の地形勾配があるので、これによる被害も考慮されるし、構造を土堤化したので、これらを考慮して天端を +10.5 m で取りつけた。なお構造的には突堤および堤防の曲線部については擁壁式の重構造とし、上部側は前面はコンクリート張工および茂市川寄りは石羽口工とし、擁壁式から石羽口工に移る区間にはコンクリート張工を入れて順次構造を変化させる。

(6) 堤体断面

基本堤体は堤体に作用する圧力を津波が押し寄せる動水圧および静水圧とし、動水圧については流速が問題となるが、これについては津波が段波の形となって進入するものとし、高さを天端高までと仮定すれば安全側であり、また堤体を越波量を少なくするために前面を直に近くとることとし、図-9のごとく決定した。

7. 津軽石海岸

津軽石海岸は宮古湾の 8400 m の湾奥に位置している。宮古湾は三陸海岸として比較的大きい湾であり、前述のごとく湾の固有振動周期は 46 分であり、三陸沖で発生する地震による津波の周期よりはるかに周期が長くしかも外海に対して湾軸が傾斜しているので津波においては比較的安全であり、昭和 8 年の津波における湾内の浸水高は図-10（松尾博士調査）のごとくあって、一応、十勝沖地震時の津波と同様に湾奥にゆくに従って波高が低くなっているように見える。いま宮古湾において E 方向より津波が押し寄せた場合の屈折図は図-11 の

図-10

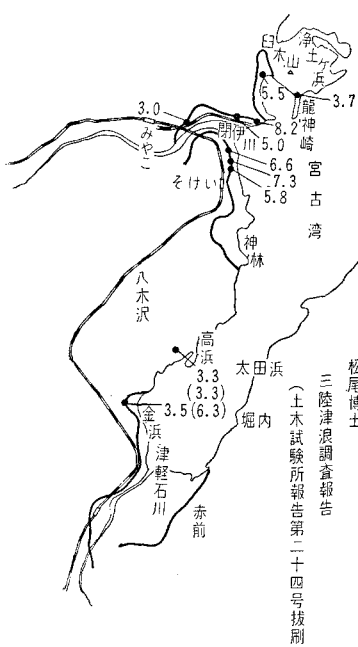


図-9 突堤標準図

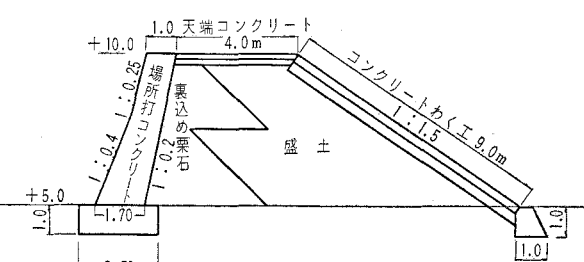


図-11 宮古湾長波の屈折図

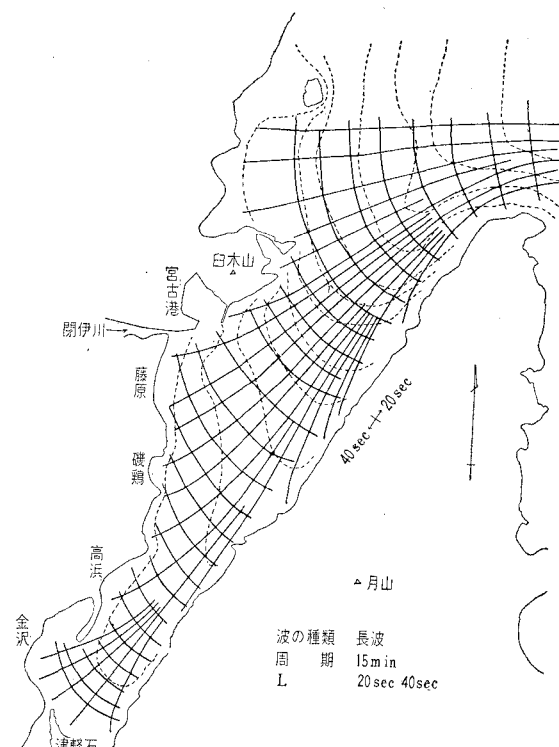
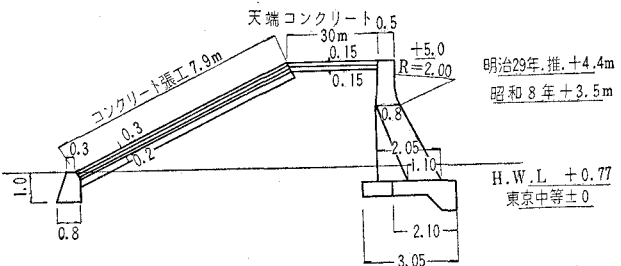


表-5 おもなる湾の固有振動

$$T = \frac{4L}{\sqrt{gh}}$$

	平均水深	湾の長さ	T
大船渡	18 m	7 800 m	39.1
宮古	15	8 400	46.0
釜石	25.8	3 700	15.6
大槌	33.6	8 400	31.0
山田	35.6	8 500	34.0
久慈	15	{縦 4 500 横 3 000}	10.4 13.6

図-12 津軽石海岸堤防



ごとくなり、宮古湾の対岸側を津波が進行することとなり、また湾口に津波が達してから津軽石に達するまで12～15分、宮古港付近からは10分を要すること、金浜側は津波に直面せず回浪を受けることなどが推察され、これらは宮古測候所の観測による藤原前面の波頭の方向とほぼ一致し、届折図は大きい湾における津波の様相を推定するに有力な方法であると思われる。いま普代海岸において適用した Green と Kaplan の組合せによる方法を宮古湾にも採用するに当って、宮古湾の湾軸は湾口と震源を結ぶ線に対して $\theta = 82^{\circ}10'$ 傾斜しているので、これによる修正をしてから Green, Kaplan によるものとする。

a) 水深 100 m 地点

$$H = 0.72 \quad L = \sqrt{9.8 \times 100 \times 12 \times 60} = 22500 \text{ m}$$

b) 宮古湾口の水深は 45 m であるから

$$H = H_0 \sqrt{\frac{h_0}{h}} = 0.72 \sqrt{\frac{100}{45}} = 0.88 \text{ m}$$

$$L = \sqrt{9.8 \times 45 \times 12 \times 60} = 15100 \text{ m}$$

c) 方向による修正 $H = H_0 \left(1 - \frac{\theta}{240}\right) = 0.88 \left(1 - \frac{82.16}{240}\right) = 0.578 \text{ m}$

宮古港付近

	宮古港付近	藤原前面	同週上高	津軽石	同週上高
水深	13 m	6 m	1/30	3 m	1/60
H	0.79 m	0.95 m	6.7 m	1.96 m	4.42 m
L	8.10 m	5.57	—	3.90 m	—
	Green	Green	Kaplan	Green	Kaplan

となり、現地調査とほぼ一致する。

1. 天端高

前記のごとく昭和 8 年の津波の週上高を 4.40 m と仮定、本堤防により波が反射してはね上る高さは、本堤防が汀線よりはるかに後退しているので、津波が汀線付近でくだけてくるものと仮定すれば天端高を波高の 1.3 倍に取れば越波をほとんど防ぐことができる。

$$\text{現地盤高} = +1.50 \sim +2.0$$

$$\text{週上高} = +4.40$$

$$\begin{aligned} \text{天端高} &= \{(4.40 - 1.50) \times 1.3 + 1.50\} \sim \{(4.40 - 2.0) \times 1.3 + 2.0\} \\ &= 5.27 \text{ m} \sim 5.12 \text{ m} \end{aligned}$$

天端高 +5.0 m であれば、堤防の背面を十分保護すれば、背面に人家などがないので目的は達せられる。

2. 堤体断面

堤体断面の決定に際しては普代海岸同様、堤体に作用する圧力を津波が押し寄せる動水圧および静水圧を天端まで作用させ 図-12 の断面を決定した。

8. 結語

三陸海岸においては、昭和 8 年の津波後、津波堤防としては、吉浜の防浪堤、田老防浪堤と 2 カ所であり、吉浜の防浪堤は背後地の浸水を防ぐだけの高さがなく、津波後災害復旧として完成し、田老防浪堤は昭和 8 年の浸水高 10.0 m を天端高として昭和 9 年～昭和 15 年および昭和 29 年～昭和 32 年で延長 1 400 m を完成した。

本格的津波堤防としては田老に続いて本計画（普代海岸、津軽石海岸）が初めてであって、上記検討のごとく大きい湾あるいは普代のように特殊な地形の場合には対策を樹てうるようと思われるが、津波現象が不明解な点のみであるので、構造物としても不安が残っているので、堤防の背後には相当の空地を残すべきであるし、またV字形の湾については到底津波に抵抗できないので、津波の場合には早急に避難できるような態勢がぜひ必要である。現在における津波情報の伝達について宮古測候所を中心に考えると、津波警報を測候所で受けるまでに10～15分、測候所より関係官公所への伝達が10～20分を要し、ここから末端への伝達はきわめて不円滑である。管区気象台より市町村役場まで20～35分を必要とするのであるが、三陸沖を震源とする津波では30～40分で津波が襲来するので、警報を有効にするためには津波警報を早く出すことと市町村役場より末端への伝達組織を整備する必要があり、一方NHK放送は地震後15～20分で放送されているので、放送を利用する方法が伝達時間を短縮できる。

参考文献

- 1) 盛岡測候所、宮古測候所：カムチャッカ沖地震に伴う津波踏査報告、28年2月
- 2) 宮古測候所：十勝沖地震に伴う津波踏査報告、27年3月19日
- 3) 札幌管区気象台：十勝沖地震概報、27年3月15日
- 4) 松尾春雄：三陸津波調査報告
- 5) 内務大臣官房都市計画課：三陸津波による被害町村の復興計画報告書
- 6) 地震研究所彙報別冊No.1：昭和8年3月3日三陸地方津波に関する論文及報告
- 7) 岩手県土木課：震浪災害土木誌
- 8) 石本己四郎：地震とその研究
- 9) 和達清夫：地球と人
- 10) 中央気象台：昭和8年3月3日三陸沖強震及津波報告
- 11) 海岸工学講演会講演集 1956
- 12) 全国防災協会：灾害原因の探究、32年4月